



DOI: [http://dx.doi.org/10.28936/jmracpc12.2.2020.\(6\)](http://dx.doi.org/10.28936/jmracpc12.2.2020.(6))

تحضير دراسة معقدات-N(5,4,3)-ثلاثي ميثوكسي فنيل)-N-بنزويل ثايوبيوريا مع عدد من العناصر الانتقالية وأهميتها

الصناعية والطبية

أمير حسين حسن

أستاذ مساعد دكتور، قسم العلوم، كلية التربية الأساسية، الجامعة المستنصرية، بغداد، العراق ammer.hassn@yahoo.com

الاستلام 20/11/2019، القبول 29/12/2019، النشر 30/12/2020



CC BY 4.0 <https://creativecommons.org/licenses/by/4.0/>

الخلاصة

اجري هذا البحث بتحضير عضيدة N(5,4,3)-ثلاثي ميثوكسي فنيل)-N-بنزويل ثايوبيوريا 3,4,5-Trimethoxy N-(phenyl)-N-benzoyl Thiourea (TMPBT) ومن ثم تحضير معقدات هذه العضيدة من خلال مفاعالتها مع كلوريدات عناصر (III) Fe (II) Mn (I) Cr (II) Ni (III) Cu (II) و (I)، إذ تم تشخيص المعقدات المحضرة ودراستها من خلال التحليل الدقيق للعناصر (C. H. N). وقياس نسبة الغاز في المعقد بواسطة الامتصاص الذري وكذلك تعين نسبة الكلور وزنياً فضلاً عن تشخيص العضيدة والمعقدات المحضرة باستخدام اطيف الأشعة تحت الحمراء (I.R) والأشعة فوق البنفسجية (U.V) وتعيين درجات الاتصهار والتوصيلية الكهربائية المولارية وحساب نسبة الفلز إلى العضيدة بطريقة النسب المولية (Molar ratio) وكذلك دراسة تأثير تغيير الاس الهيدروجيني (pH) على استقرارية المعقدات، وأخيراً اقتراح الصيغ التركيبية للمعقدات قيد الدراسة حيث تبين أن الصيغة التركيبية للمعقددين Cr (III), Fe(III), Mn (II), Ni(II) هي ML_2X_3 وللمعقددين Co(II), Cu (II) هي ML_2X_2 .

الكلمات المفتاحية: معقدات فازية، عضيدة، بنزويل ثايوبيوريا.

DOI: [http://dx.doi.org/10.28936/jmracpc12.2.2020.\(6\)](http://dx.doi.org/10.28936/jmracpc12.2.2020.(6))

SYNTHESIS AND STUDY OF THE COMPLEXES OF: N-(3,4,5-TRIMETHOXY PHENYL)-N- BENZOYL THIOUREA (TMPBT) WITH A NUMBER OF TRANSITION METALS AND THEIR INDUSTRIAL AND MEDICAL IMPORTANCE

Ameer Hussein Hasan

Assistant Prof. PhD. College of Basic Education, Mustansiriyah University, Baghdad, Iraq ammer.hassn@yahoo.com

Received 20/ 11/ 2019, Accepted 29/ 12/ 2019, Published 30/ 12/ 2020

This work is licensed under a CC BY 4.0 <https://creativecommons.org/licenses/by/4.0/>



ABSTRACT

This paper performance for preparation and identification of six new complexes of a number of transition metals Cr (III), Mn (I), Fe (I), Co (II), Ni (I), Cu (II) with: N - (3,4,5-Trimethoxy phenyl)-N - benzoyl Thiourea (TMPBT) as a bidentet ligand. The prepared complexes have been characterized, identified on the basis of elemental analysis (C.H.N), atomic absorption, molar conductivity, molar-ratio ,pH effect study, I. Rand UV spectra studies. The complexes have the structural formula ML_2X_3 for Cr (III), Fe (III), and ML_2X_2 for Mn (II), Ni (II), and MLX_2 for Co (II) , Cu (II).

Keywords: Metal Complxes, Ligand, Benzoyl thiourea

**المقدمة Introduction**

عرفت الثايوبيوريا ومشتقاتها على تكوين معقدات متعادلة ومستقرة مع العناصر الانتقالية (Peter *et al.*, 2011) وقد درست معادات الثايوبيوريا ومشتقاتها في بداية القرن العشرين (Khalifa *et al.*, 2013) ونالت دراسة هذه المعقدات في الفترة الأخيرة اهتماماً واسعاً بسبب إمكانية استخدامها في العديد من المجالات، حيث وجد أن جزيئه الثايوبيوريا لها القدرة على تكوين أواصر تناسقية مع أيونات العناصر الفلزية من خلال ذرتي التتروجين وذرة الكبريت مع ملاحظة أن للايون الفلزي تأثير في تحديد الذرة المانحة للالكترونات (Jadho *et al.*, 2013) ومن جانب آخر فقد درست معادات الثايوبيوريا التي تحوي مجموعة كاربونييل ($C=0$) او بيريدايل او بنزويل باهتمام لأنها تحوي مجموعتي ($C=S$, $C=0$) فضلاً عن ذرتي التتروجين والتي لها القدرة على التنسق مع الأيون الفلزي وتكون عدد كبير من المعادات (Panicker *et al.*, 2010; Ikokoh *et al.*, 2012; Yesilkaynak *et al.*, 2015) وجذب أن معادات الثايوبيوريا ومشتقاتها مع العناصر الانتقالية لها أشكال هندسية مختلفة، فمنها رباعي السطوح (Tetrahedral) أو ثماني السطوح (Octahedral) أو رباعي الهرم المثلثي (Tetragonal) مع درجات مختلفة من التشوّه (Narayana *et al.*, 1997) وقد نالت هذه المعقدات في الفترة الأخيرة اهتماماً واسعاً بسبب كثرة وتنوع استخداماتها، فهي تستخدم في فصل الأيونات الفلزية عن بعضها (Asar *et al.*, 1993) وككاشف انتقائية وخصوصاً في تعدين الفلزات في المواد المتداخلة (Bourne *et al.*, 1993) وكمضادات للبكتيريا والفطريات (Arslan *et al.*, 2006; Dondas *et al.*, 2003; Abdullah *et al.*, 2010) وكمضادات حشرية والمalaria وكمضاد حيوي ومعالجة الأورام الخبيثة (Saeed *et al.*, 2006; Verhof *et al.*, 2000; Hamdy *et al.*, 2007; Hakan *et al.*, 2010) كما استخدمت معادات الثايوبيوريا ومشتقاتها في الصناعة وفي التقنية الكهربائية وتحضير بوليمرات مقاومة للحرارة (Saeed *et al.*, 2011) وكمثبتات للتآكل وكمثبتات للكوكدة (Karthikeyan *et al.*, 2012) ومضادات للأكسدة (Abdulfattah *et al.*, 2014) ومنظمات لنمو النباتات (et al., 2009).

المواد وطرق العمل MATERIALS AND METHODS

استخدمت كلوريدات العناصر الألية والمجهمة من شركة (BDH):

المواد: $6H_2O$, $CuCl_2 \cdot 2H_2O$, $CrCl_3 \cdot 6H_2O$, $MnCl_2 \cdot 4H_2O$, $FeCl_3 \cdot 6H_2O$, $CoCl_2$, $NiCl_2 \cdot 6H_2O$ واستخدمت المواد الألية والمجهمة من شركة (Fluka): كلوريد البنزويل (Benzoyl chloride)، ثايوسيانات الأمونيوم (Ammonium thiocyanate)، البنزين (Benzene)، الكحول البيوتيلي (Butanol)، ثلاثي ميثوكسي اثنين (3, 4, 5-Trimethoxy aniline)، خلات الإثيل (Ethyl acetate)، الكحول الإثيلي (Ethanol).

تحضير ايزواثايوسيانات البنزويل Benzoyl Isothiocyanate

تم تحضير هذا المركب حسب طريقة التي ذكرها Ambelang & Johnson (1939) وذلك بإضافة 45 غم من ثايوسيانات البوتاسيوم المجفف بصورة جيدة إلى 100 ملتر من البنزين الجاف الذي يحوي كلوريد البنزويل 56 . 5 غم ثم يسخن المزيج لمدة 6 ساعات وبدرجة حرارة 110-120 م ولحين اختفاء رائحة كلوريد البنزويل المميزة، ثم يفصل الناتج بالترشيح ويقطر البنزين تحت ضغط منخفض ويؤخذ الناتج المتبقى الذي يمثل ايزواثايوسيانات البنزويل والذي يغلي بدرجة حرارة 133-135 م اذ كانت نسبة المنتوج %60.

تحضير (5, 4, 3- ثلاثي ميثوكسي فنيل)-N-بنزويل ثايوبيوريا

(Trimethoxy phenyl)-N-Benzoyl Thiourea (TMPET 3,4,5)

تم تحضير هذا المركب (او العضيدة) حسب ما ورد في الأدب (Sarkis *et al.*, 1985) من تفاعل ايزواثايوسيانات البنزويل 5,4,3- ثلاثي ميثوكسي اثنين وتم تشخيصه وتحديد تركيبه ومن ثم مفاعله مع ستة عناصر انتقالية. تحضير معادات العضيدة (TMPET):

حضرت معادات هذه العضيدة من خلال مفاعلتها مع كلوريدات العناصر الالية: Ni (II), Cu (II), Cr (III), Mn (II), Fe (III) ، حيث يذاب 1 غم 0.0029 مول من العضيدة في 30 ملتر من الكحول البيوتيلي مع التسخين والتحريك المستمر، وعند اكتمال الذوبان تتم إضافة محلول كلوريد الفلز في نفس المذيب وبكمية مكافئة إلى مولات العضيدة 0.0029 مول بالنسبة للعنصر (II) Co و Cu (II) و 0.0014 مول بالنسبة للعناصر Cr (III), Mn (II), Fe(III) (II) Ni و من ثم تسخين المزيج باستخدام مكثف عاكس (Reflux) لفترة زمنية حيث يتكون الراسب والذي يرشح وينحل وتعاد بلورته من مذيب مناسب، ويوضح (الجدول، 1) بعض الصفات الفيزيائية للمعادن.



جدول (1): ظروف تحضير معدنات (TMPBT) وبعض خواصها الفيزيائية.

No. of Comp.	Complexes	Yield (%)	Color	Time of Reflux (h)	M . P (°C)	Solvent of Recry
1	[Cr(TMPBT) ₂ Cl ₂] Cl	78	Gray	3	244-246	Ethyl acetate
2	[Mn(TMPBT) ₂ Cl ₂]	67	Brown	2	228-230	Ethyl acetate
3	[Fe(TMPBT) ₂ Cl ₂] Cl	48	Red-brown	1.5	234-236	Ethyl acetate
4	[Co(TMPBT) Cl ₂]	55	Blue	1	275-277	Ethyl acetate
5	[Ni(TMPBT) ₂ Cl ₂]	61	Deep-green	2	263-265	Ethyl acetate
6	[Cu(TMPBT) Cl ₂]	42	Green	2.5	280-282	Ethyl acetate
7						Ethyl acetate

لقد درست المعدنات المحضرة وتم تشخيصها بإجراء عدد من القياسات الفيزيائية والتي شملت:

1. تعين درجات انصهار المعدنات باستخدام جهاز الحراري الكهربائي.
2. التحليل الدقيق للعناصر (C,H,N).
3. تعين نسبة الكلور المؤدية في المعدنات بطريقة (Gravimetrically).
4. تعين نسبة الغاز في المعدنات باستخدام تقنية الامتصاص الذري (Atomic Absorption).
5. قياس أطيف الأشعة تحت الحمراء والأشعة فوق البنفسجية-المرئية (IR, UV-Visible) للعصيدة، والمعدنات باستخدام جهاز 6 SP3-100 Spectrophotometer, Hitachi U 2000
6. قياس التوصيلية الكهربائية المولارية (Molar Conductivity).
7. حساب نسبة الغاز إلى العصيدة بطريقة النسب المولية (Molar Ratio).
8. دراسة تأثير التغير في الاس الهيدروجيني (pH) على استقرارية المعدنات باستخدام جهاز ORION model 720 (S.A).
9. تم اقتراح الصيغ التركيبية للمعدنات قيد الدراسة.

RESULTS AND DISCUSSION

أطيف الأشعة تحت الحمراء IR Spectra

عند مقارنة طيف الأشعة تحت الحمراء للعصيدة مع أطيف المعدنات المحضرة وجدنا تغيرات قد حصلت في موقع حزم امتصاص بعض المجاميع الفعالة وكما موضحة في (الجدول، 2) (الشكل، 1 و2) وكما يأتي:

اهتزاز مط المجموعة (N-H):

ظهرت حزمة امتصاص اهتزاز مط مجموعة (N-H) (N-H) عند تردد 3171 سـ⁻¹ متوسطة الشدة والثانية عند (2875 سـ⁻¹) ضعيفة الشدة في العصيدة الحرة على التوالي، ولم يحدث تغير ملحوظ في موقع امتصاص هاتين الحزمتين للمعدنات المحضرة مما يعني عدم اشتراك ذرتى التتروجين في التناسق مع الأيون الفلزى وهذا يتفق مع ما ورد في الأدبيات حول هذا الموضوع (West *et al.*, 1988).

اهتزاز مط مجموعة الكاربونييل (C=O):

ظهرت حزمة امتصاص مط هذه المجموعة عند 1650 سـ⁻¹ في العصيدة الحرة، أما في المعدنات فقد أزير امتصاص هذه المجموعة نحو تردد أوطاً بمقدار 20 - 35 سـ⁻¹ ونقصان في شدة الامتصاص وانقسامات في بعض الحالات التي تظهر على اشتراك هذه المجموعة في التناسق مع الأيون الفلزى وهذا يتفق مع ما ورد في الأدبيات حول هذا الموضوع (Abdulfattah *et al.*, 2014).

اهتزاز مط المجموعة (NH-CO):

ظهرت حزمة امتصاص مط هذه المجموعة عند 1500 سـ⁻¹ بشكل حزمة قوية في العصيدة الحرة، في حين انخفضت قيمة وشدة امتصاص هذه المجموعة في أطيف المعدنات بمقدار تراوح بين 20-10 سـ⁻¹ وهذا يدعم حدوث التناسق من خلال ذرة الأوكسجين (Jadhaq *et al.*, 2012).

اهتزاز مط المجموعة (C=5):

ظهرت حزمة امتصاص مط هذه المجموعة في العصيدة الحرة عند 1124 سـ⁻¹ بشكل حزمة قوية، أما في المعدنات فقد ظهر انخفاض واضح في قيمة وشدة الامتصاص تراوح بين 12-24 سـ⁻¹ مما يدل على اشتراك هذه المجموعة في التناسق مع الأيون الفلزى وهذا ما يحدث مع ما ورد في الأدبيات (Mostafa *et al.*, 1983).

اهتزاز مط المجاميع (M-C1, M-O, M-5):

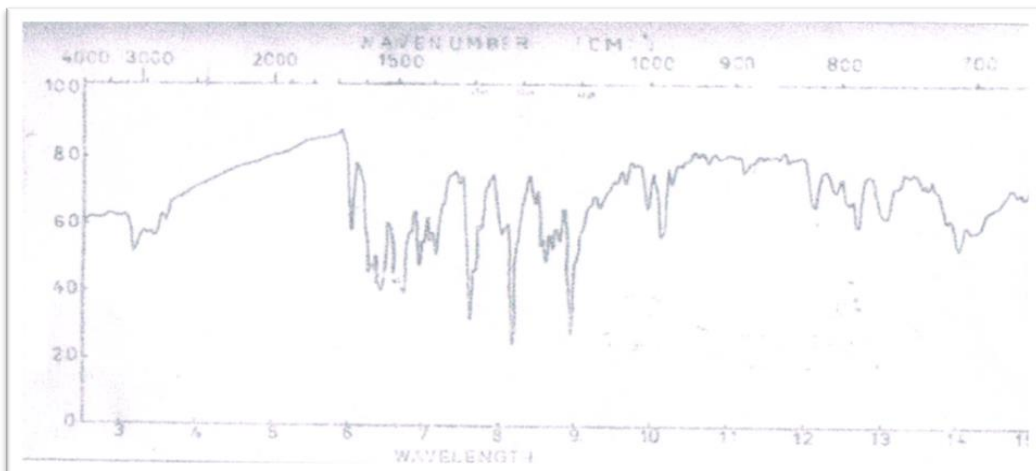
ظهرت حزمة امتصاص ضعيفة جداً في أطيف المعدنات، حيث ظهرت حزمة M-0 عند 440-430 سـ⁻¹ و M-5 عند 350-340 سـ⁻¹ و M-C1 عند 320-310 سـ⁻¹ وهذا يتفق مع ما ورد في الأدبيات (Patel *et al.*, 2009).



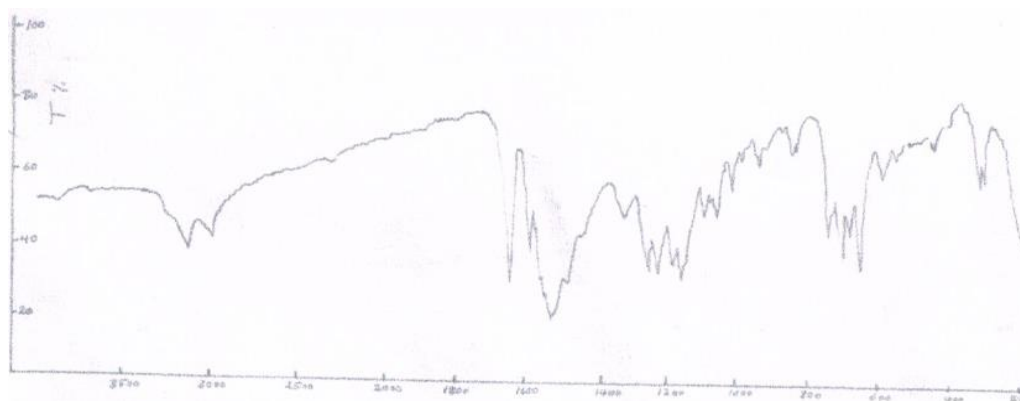
جدول (2): أطيف الأشعة تحت الحمراء للعصبية (TMPBT) و معقداتها.

NO.	Comp .	$\sqrt{N-H}$	$C=O\sqrt{Amide\ I}$	$\sqrt{C=C}$	$\sqrt{NH-CO\sqrt{Amide\ II}}$	$\sqrt{N-CS}$	$\sqrt{C=S\sqrt{NCN}}$	$\sqrt{C-S}$	$M-O\sqrt{}$	$M-S\sqrt{}$	$\sqrt{M-Cl}$
Lig.	TMPBT	3174 m 2875w	1650m	1560m	1500 s.b	1320 s	1200 s	1124 s	-----	-----	-----
1	[Cr(TMPBT) ₂ Cl ₂]Cl	3150m	1620s	1558m	1480m.b	1310m	1180m	1100m	435w	350w	305w
2	[Mn(TMPBT) ₂ CL ₂]	3165m	1625 s	1560w	1485 s.b	1305m	1185m	1105m	440w	355w	310 w
3	[Fe(TMPBT) ₂ Cl ₂]Cl	3155m	1630 s	1555w	1482 s.b	1308w	1170m	1108m	438w	360w	300 w
4	[Co(TMPBT) CL ₂]	3160m	1615s	1560m	1485m.b	1308m	1185w	1110m	433w	345w	306 w
5	[Ni(TMPBT) ₂ CL ₂]	3145m	1628 s	1562w	1490m.b	1305w	1175w	1112m	435w	340w	304 w
6	[Cu(TMPBT) Cl ₂]	3140m	1622 s	1560m	1483 s.b	1310m	1180m	1106m	440w	352w	300 w

S: strong, m: medium, w: weak, b: broad.



شكل (1): طيف الاشعة تحت الحمراء للعصبية (TMPBT)



شكل (2): طيف الاشعة تحت الحمراء للمعقد .Mn (TMPBT)₂Cl₂[]

اطيف الاشعة فوق البنفسجية Ultra-Violet Spectra

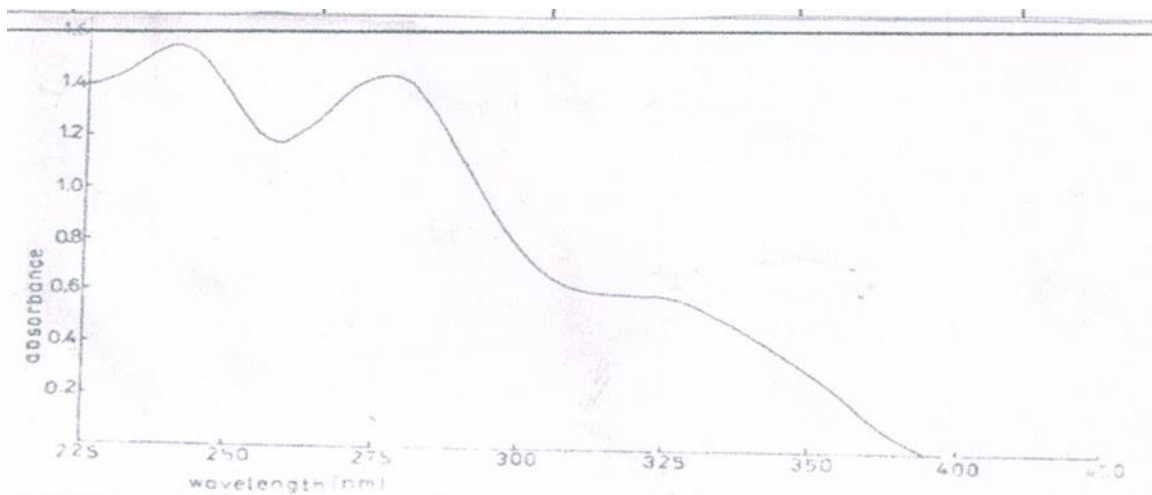
يوضح (الجدول، 3) و(الشكل، 3) وجود ثلاثة حزم امتصاص في العصبية الحرية، الاولى عند 241 نانومتر وتعزى الى انتقال ($\pi \rightarrow \pi^*$) لمجموعة الكاربونيل والثانية عند 277 نانومتر وتعزى الى نفس الانتقال السابق لمجموعة



الثيوکاربونيل والثالثة عند 328 نانومتر وهي تمثل الانتقال ($\pi \rightarrow \pi^*$) لمجموعة البنزين، وعند مقارنة هذه الحزم مع تلك التي تعود للمعقدات وجدنا ازاحة الامتصاص نحو طول موجي اطول وزيادة في الشدة الامتصاص فضلاً عن ظهور حزم جديدة في اطيف المعقدات عند 510-560 نانومتر وهي تمثل انتقال الشحنة والاخرى عند 420-450 نانومتر وهي تمثل الانتقال (d-d Transfer-). (Ikokoh et al., 2015).

جدول (3): قياسات الأشعة فوق البنفسجية للعصيدة (TMPBT).

NO.	Comp.	Max.nm. λ	$\epsilon_{max.}$	Max.nm λ	$\epsilon_{max.}$	Max.nm. λ	$\epsilon_{max.}$
Lig.	TMPB	240	19952	275	18197	330	7244
1	[Cr(TMPBT) ₂ Cl ₂]Cl	250	23200	288	21230	345	9120
2	[Mn(TMPBT) ₂ Cl ₂] ₂	248	23816	290	22211	340	8730
3	[Fe(TMPBT) ₂ Cl ₂]Cl	252	25233	285	21985	348	8800
4	[Co(TMPBT) Cl ₂] ₂	255	28012	283	24023	350	8935
5	[Ni(TMPBT) ₂ Cl ₂] ₂	256	27885	286	32011	342	9260
6	[Cu(TMPBT) Cl ₂] ₂	278	26361	285	20980	344	9315



شكل (3): طيف الأشعة فوق البنفسجية-المرئية للعصيدة (TMPBT).

قياسات التوصيلية الكهربائية المolarية Molar Conductivity

يوضح (الجدول، 4) نتائج قياسات التوصيلية الكهربائية المolarية في الكحول الايثيلي 99% وبتركيز 10^{-3} مولاري حيث أظهرت إن المعقدin (1,3) لها القابلية في التوصيل الكهربائي مما يعني وجود ايونات الكلوريدي غير المرتبطة باليون الفلزي، أما بقية المعقدات (2,4,5,6) فإنها لم تظهر توصيلية الكهربائية واضحة وهذا يدعم عدم وجود ايونات الكلوريدي الحرة في المحلول، وهذه النتائج تتفق مع ماورد في الادبيات (Abdulfattah et al., 2014)، وتم حساب نسبة الفلز الى العصيدة بطريقة النسب المولارية، اذ يوضح (الجدول، 5) نتائج القياسات وتبيين ان النسبة في المعقدin (6,4) هي كنسبة (1:1) اما في المعقدات (5,3,2,1) فقد كانت النسبة هي (2:1) وهذه النتائج تدعم الصيغ المقترنة للمعقدات.



جدول (4): التحليل الدقيق للعناصر للعصبية الحرة و معقداتها (المحسوبة %) والعملية والتوصيلية المولارية للمعقدات.

No.	Comp.	M (%)	C (%)	H (%)	N (%)	Cl (%)	ΔM , ohm^{-1} $\text{Cm}^2 \text{mol}^{-1}$	Solvent
Lig .	TMPBT	-----	(58.95) 58.68	(5.20) 5.45	(8.09) 7.87	-----	-----	Ethanol
1	[Cr(TMPBT) ₂ Cl ₂]Cl	(6.11) 6.00	(47.97) 46.88	(4.23) 3.95	(6.58) 6.12	(12.52) 12.20	125.56	Ethanol
2	[Mn(TMPBT) ₂ Cl ₂]	(6.72) 6.20	(49.87) 49.00	(4.40) 4.10	(6.84) 6.25	(8.67) 8.25	9.82	Ethanol
3	[Fe (TMPBT) ₂ Cl ₂]Cl	(6.55) 6.05	(47.74) 48.03	(4.21) 4.45	(6.55) 6.12	(12.46) 11.22	105.35	Ethanol
4	[Co(TMPBT)Cl ₂]	(12.39) 12.56	(42.85) 41.93	(3.78) 3.25	(5.88) 5.25	(14.91) 15.11	8.65	Ethanol
5	[Ni(TMPBT) ₂ Cl ₂]	(7.14) 7.46	(49.65) 48.92	(4.38) 4.11	(6.81) 6.45	(8.64) 8.82	7.73	Ethanol
6	[Cu(TMPBT) CL ₂]	(13.21) 12.86	(42.45) 42.80	(3.74) 3.32	(5.82) 5.45	(14.77) 13.93	10.82	Ethanol

جدول (5): قياسات نسبة الفلز:العصبية (L:M).

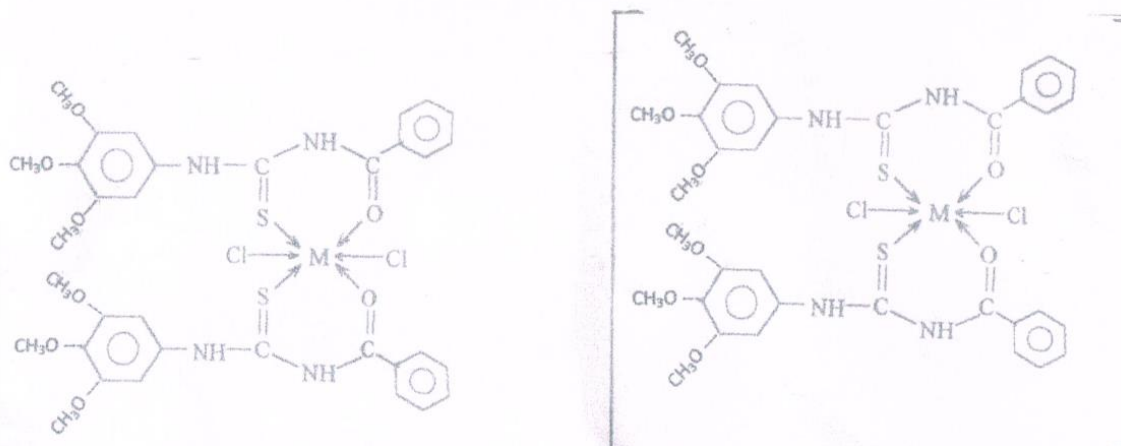
No.	Comp.	Molar Conc. X10-5 M	L:M Ratio
1	[Cr(TMPBT) ₂ Cl ₂]Cl	0.5	2:1
2	[Mn(TMPBT) ₂ CL ₂]	0.5	2:1
3	[Fe(TMPBT) ₂ Cl ₂]Cl	0.5	2:1
4	[Co(TMPBT)CL ₂]	0.5	1:1
5	[Ni(TMPBT) ₂ CL ₂]	0.5	2:1
6	[Cu(TMPBT)Cl ₂]	0.5	1:1

تأثير التغير في الاس الهيدروجيني pH-Effect study

تم تحضير محليل منظمة تراوحت قيمة الاس الهيدروجيني لها بين 2-9 و عند إضافتها إلى محليل المعقدات وجد ان استقرارية المعقدات تقل في الأوساط الحامضية، حيث يزاح الطول الموجي نحو الأقل (Hypo Chromic Shift) (Hypo Chromic Shift) و عند زيادة الاس الهيدروجيني للمحلول سوف يزاح الامتصاص نحو الطول الموجي الأطول وهذا يدعم زيادة الاستقرارية في الأوساط القاعدية.

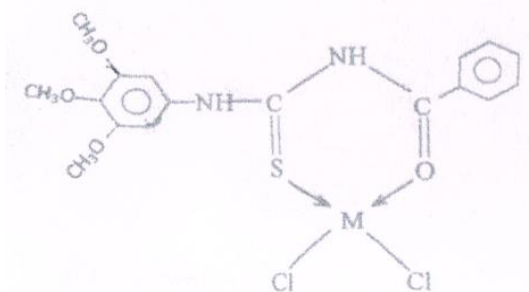
الصيغ المفترضة للمعقدات Structural formula

اعتمادا على المعطيات السابقة تم اقتراح صيغ تركيبية للمعقدات المحضرة حيث إن المعقدتين (6، 4) يتخدان بنية المربع المستوي (Square planar) أما المعقدات (5، 3، 2، 1) فإنها تأخذ بنية ثماني السطوح (Octahedral)، وكما موضحة في (الشكل، 4 و 5 و 6).



شكل (5): الشكل الهندسي لمعقدي Ni(II), MN(II) Fe(III), Cr(III)

شكل (4): الشكل الهندسي لمعقدي (TMPBT) مع العضيدة



شكل (6): الشكل الهندسي لمعقدي Co (II), Cu (II) مع العضيدة (TMPBT)

الاستنتاجات CONCLUSIONS

إمكانية استخدام هذه المعقدات كمضادات حيوية وعلى نطاق واسع وفي مكافحة الآفات الزراعية وبانتقائية عالية، كما ان لهذه المعقدات فعالية واضحة تجاه بعض أنواع السرطانات مثل سرطان الغدة الدرقية، وتعتبر هذه المعقدات من المواد المثبطة للتأكل، ويمكن أن تستخدم في التتفيقية الكهربائية، كما تستخدم في تحضير بوليمرات مهمة وذات مواصفات مميزة ومقاومة للحرارة.

REFERENCES

- I. Abdulfattah, M. A., Zainb, I. & Ahmed, E. (2014). Synthesis and use of thiourea derivative for extraction of cadmium ion. *International Journal of Chemical, Molecular, Nuclear Material and Metallurgical Engineering*, 8(2), 108-110.
- II. Abdullah, B. & Saleh, M. (2010). Synthesis, characterization and biological activity of N-phenyl- \tilde{N} -(2-phenolyl) thiourea (PPTH) and its metal complexes of Mn(II), Co(II), Ni(II), Cu(II), Zn(II), Cd(II), Pd(II), Pt(II) and Hg(II). *Oriental Journal of Chemistry*, 26(3), 673-773.
- III. Ambelang, J. C. and Johnson, T. B. (1939). Researches on Pyrimidines. CLX. The Catalytic Hydrogenation of 5-Benzyl- and 6-Benzyluracils. *Journal of the American Chemical Society*, 61(1), 74-77.
- IV. Arslan, H., Duran, N., Borekci, G., Ozer, C. K. & Akbay, C. (2009). Antimicrobial activity of some thiourea derivatives and their nickel and copper complexes. *Molecules*, 14, 519-527.



- V. Avasar, G., Arslan, H., Haupt, H-J. and Kulcu, N. (2003). Crystal structure of cis-bis (N,N-dimethyl-N'-benzoylthioureato) palladium (II). *Turkish Journal of Chemistry*, 27, 281-286.
- VI. Bourne, S. & Koch, K. R. (1993). Dalton communications. Intramolecular hydrogen-bond controlled unidentate co-ordination of potentially chelating N-acyl-N'-alkylthioureas: crystal structure of *cis*-bis(*N*-benzoyl-*N'*-propylthiourea) dichloroplatinum(II). *Journal of the Chemical Society, Dalton Transactions*, 13, 2071-2072.
- VII. Ali, D. H., NURAL, Y., Duran, N. and Kilner, C. (2006). Synthesis, crystal structure and antifungal/antibacterial activity of some novel highly functionalized benzoylaminocarbothioyl pyrrolidines. *Turkish Journal of Chemistry*, 30, 573-583.
- VIII. Hakan, A., Nizami, D., Gulay, B., Cemal, K. & Cevdet, A. (2009). Antimicrobial activity of some thiourea derivatives and their Nickel and Copper complexes. *Molecules*, 14, 519- 527.
- IX. Hamdy, M. & Mohamed, A. (2007). Novel benzoyl urea and thiourea derivatives with potential cytotoxic and antimicrobial activities. *Journal of Enzyme Inhibition and Medicinal Chemistry*, 22, 57-64.
- X. Ikokoh, P. P. A., Onigbanjo, H. O., Adedirin, O., Akolade, J. O. & Fagbohum, A. (2015). Synthesis and antimicrobial activities of Copper (I), Silver (I) thiourea . *Open Journal of Research*, 2(2), 86- 91.
- XI. Jadhao, S. Z. & Rathod, M. S. (2012). Synthesis and structural investigation of copper lgand (thiourea derivative) complex. *Journal of Chemical and Pharamaceutical Research*, 4(3), 1580-1583.
- XII. Kartthikeyan, A., Xianguo, H., Jeeva, P. A., Harikumar, S. & Narayanan, S. (2012). The inhibitive action of Tolyl-3,3-dimethyl thiourea on the corrosion of mild steel in brine water. *Journal of Surface Science and Technology*, 28, (3-4), 101-110.
- XIII. Khalifa, A. & Moktar, A. (2013). Synthesis, characterization, biological activity and use of thiourea derivative Cd (II) ion complexes. *International Journal of Science and Research*, 4, 350-352.
- XIV. Narayana, B. & Gajendragad, M. R. (1997). Synthesis and characterization of complexes of Co(II), Ni(II), Cd(II), Hg(II) and Pd(II) with some N-phenyl-N^{1}-2-[4-phenyl-(substituted) thiazolyl]-thioureas. *Turkish Journal of Chemistry*, 21, 65-70.
- XV. Panicker, C. Y., Varghese, H. T., George, A. & Thomas, P. K. V. (2010). FT-IR-Raman and ab-initio studies of 1, 3-diphenylthiourea. *European Journal of Chemistry*, 1(3), 173-178.
- XVI. Patel, P. K. & Patel, P. D. (2009). Synthesis, antibacterial and antifungal activities of derivatives. *Journal of Chemistry*, 6(2), 475-480 .
- XVII. Peter, A. A. & Nonkululeko, H. (2011). Metal complexes of di isopropyl thiourea synthesis, characterization and antibacterial studies. *International Journal of Molecular Sciences*, 12, 7186-7198.
- XVIII. Saeed, S., Rashid, N., Ali, M. & Hussain, R. (2010). Synthesis, characterization and antibacterial activity of nickel (II) and copper (II) complexes of N-(alkyl (aryl) carbamothioyl)-4-Nitrobenzamide. *European Journal of Chemistry*, 1(3), 200-205.
- XIX. Saeed, S., Rashid, N., Jones, P. & Hussain, R. (2011). Thermo mechanical studies of thermally stable metal containing epoxy polymers from diglycidyl ether of bisphenol and amino thiourea metal complexes. *European Journal of Chemistry*, 2(1), 77-82.



- XX. Sarkis, G. Y. & Faisal, E. D. (1985). Synthesis and spectral characterization of some new N-substituted 2- aminobenzothiazoles, 2- aminothiazolopyridines and 2- aminothiazoloquinolines. *Journal of Heterocyclic Chemistry*, 22(3), 725-728.
- XXI. Verhof, J. & Fluit, A. (2006). Surveillance uncovers the smoking gun for resistance emergence. *Biochemical Pharmacology*, 71, 1036-1041.
- XXII. West, D. X., Van Rocked, S. A. & Buntiry, K. (1988). Synthesis and spectroscopic studies of metal (II) complexes prepared with N-2-(5-picolyl)-N'-phenylthiourea. Transition Metal Chemistry. 13, 53-61.
- XXIII. Yesilkaynak, T., Binzet, G., Emen, F. M., Florke, N. & Arslan, H. (2010). Theoretical and experimental studies on N-(methyl pyridine-2-carbamothioyl) biphenyl-4-Carboxamide. *European Journal of Chemistry*, 1(1), 1-5.